### RC 橋脚の耐力・変形特性に及ぼす二方向載荷履歴の影響

大阪市立大学大学院工学研究科(堺市) 学牛員 北田 裕久 大阪市立大学大学院工学研究科 正会員 大内 大阪市立大学大学院工学研究科 正会員 角掛 久雄

(株)オガノ 島田功 正会員

#### 1.目的

地震時保有水平耐力法に基づく道路橋脚の耐震設計では、橋軸方 向,橋軸直角方向それぞれ独立に検討されている.しかし,二方向地 震力を同時に受けた場合に損傷がより大きくなることが予想され 一 方向載荷との違いを明らかにする必要がある.

そこで,本研究では三次元非線形 FEM 解析ソフト FINAL を用い, 試設計した RC 橋脚を対象として載荷履歴を変化させた二方向交番 載荷の解析を行い,一方向載荷との耐力・変形特性の差違を明らかに する.

# 05 150 2500 柱断面

試設計橋脚図 図 - 1

#### 2.解析概要

本研究では図・1 に示すような橋脚を想定している、保 有水平耐力法に基づき配筋を決定した.その詳細を図-2(a)に示す.解析では図 - 2(b)に示すように単純化した.

RC 橋脚の解析を行う前に,汎用ソフトがいかに拘束力 に対してコンクリートの特性を捉えているかを星隈ら <sup>1)</sup>が 実施した一軸圧縮試験結果と比較することで確認した.表 - 1 に対象とする供試体を ,図 - 3(a) に解析モデルを示す. 軸対称性から帯鉄筋で挟まれる 1/4 モデルとしている.図 - 3(b)に拘束力と最大圧縮応力との関係を示す .fvh は解析 における最大圧縮応力時での帯鉄筋の最大軸方向応力を とっている.解析結果は道示式と同程度となり,拘束効果 の影響を捉えることができている.

RC 橋脚の解析で用いる材料定数などを表 - 2 に示す .支 持条件は底面を全固定とした.荷重条件は柱上部の天端に 面荷重として 1MPa を軸方向載荷した後に天端の断面中央 点で水平方向荷重を変位制御で載荷した.載荷履歴は図-4に示す3種類のパターンとした.変位振幅は斜め方向の ドリフト角 0.5%まで変位させた後に ,1% ,2% ,3% ,4% ,

5%と整数倍していった.なお,1%当た リ水平変位は 100mm である. ループは

対象供試体 表 - 1 供試体名 供試体 コンク 寸法 リート SR235 象限載荷(赤シリーズ)を x 正側 <u>SC2</u>

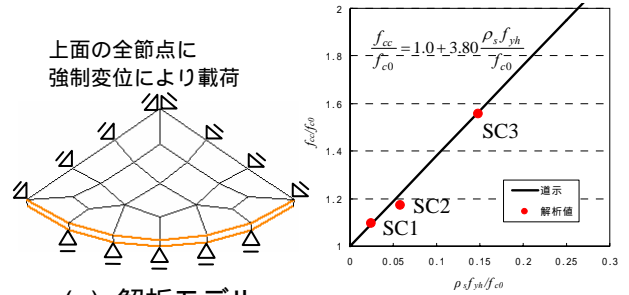
から開始した後に - 象限載荷(青シリーズ)を y 正側から開始する 軌跡を辿るものとした.

D=2500 →	
=2500	* *
<u> </u>	
150 5*120 6*120 5*120 150 140 140	140 6*320 140 150 150
主鉄筋 D32 , 帯鉄筋 D13	150 : 帯鉄筋(D13 を 3 本分相当)

軸方向鉄筋比: 1.728% 側方鉄筋体積比: 0.469%

: 主鉄筋(D32 を 3 本分相当) : 主鉄筋(D32 を 2 本分相当) : 变位制御位置

(a) 試設計断面 (b) 解析モデル 図-2 橋脚断面図(単位 mm)



(a) 解析モデル 义

(b) 解析結果

-3 拘束効果と最大圧縮応力	との関係

	単位	コンクリート	主鉄筋 帯鉄筋
弾性係数	GPa	23.5	200
ポアソン比		0.167	0.3
圧縮強度	MPa	21.0	
引張強度	MPa	1.75	-
降伏強度	MPa	-	300
ひずみ硬化率	%	-	0.1
使用要素		Solid	Truss Beam
破壊基準		Ottesen	一軸応力 ひずみ
応力-ひずみ関係		修正Ahmad <sup>2)</sup>	バイリニア型
		The state of the s	· ·

表 - 2 材料諸元

キーワード RC 橋脚, 二方向地震力, 載荷履歴, 三次元非線形 FEM 解析

連絡先 〒558-8585 大阪市住吉区杉本 3 丁目 3 番 138 号 大阪市立大学大学院工学研究科 TEL06-6605-2723

#### 3.水平力 水平变位関係

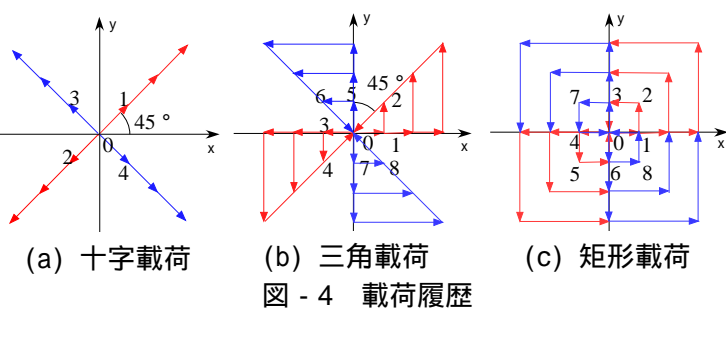
得られた荷重 変位の関係を図 - 5 に示し ており, その包絡線を図 - 6 に示す . (a)では 象限載荷における x 方向変位に , (b)では 象限載荷における y 方向変位に着目す る .図中には比較のため一方向載荷の結果も示

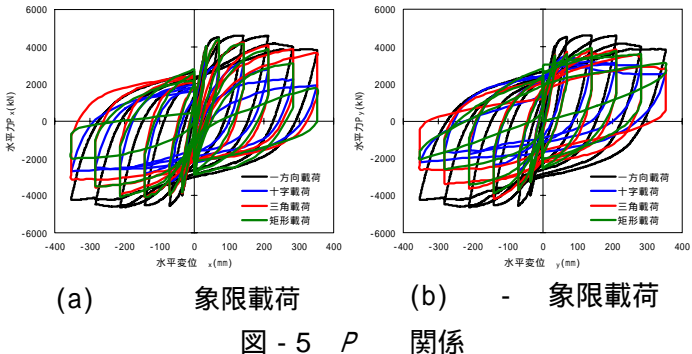
す.最大耐力は一方向載荷の場合にはドリフト

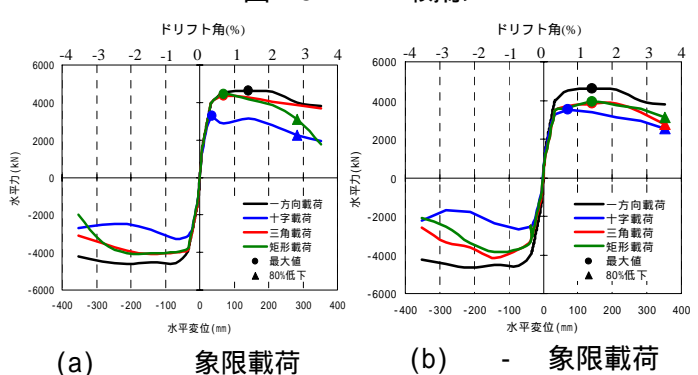
角 1.41% 程度で現れており , - 象限載荷におい ても概ねその傾向となっているが, においては早期に最大耐力に達した.三角載荷と矩 形載荷における最大耐力は同程度となっているが、 十字載荷における耐力はそれらと比較して低下す る結果となった.これは三角載荷と矩形載荷での各 サイクル最大耐力は x,y 各方向載荷時に決定する のに対し,十字載荷は対角方向載荷によっているた めである.次に終局変位について考える.今,これ を最大荷重の 80%耐力まで低下する点で定義する. 一方向載荷ではドリフト角 3.54%までは最大耐力の 80%まで低下することはなく,終局変位に達してい 象限載荷のうち三角載荷はそれ程の低 下は見せなかったものの,その他の載荷ではドリフ ト角 2.83%で終局変位に達する. -は各載荷ともドリフト角 3.54%で終局変位に達する. 以上より二方向載荷により終局変形性能は低下す る可能性があるといえる.

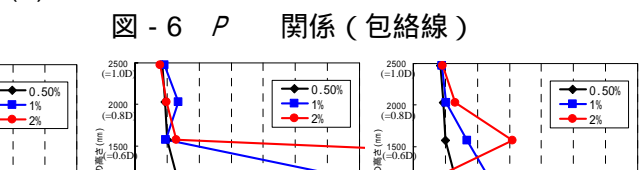
## 4. 塑性ヒンジ長

図 - 2 の 位置に配置された主鉄筋 に着目し,基部から 1.0D(2500mm)区間 でのひずみ分布を図 - 7 に示す. 最大ひ ずみが生じる高さは三角載荷 > 矩形載 荷>十字載荷の順であるが,0.4~









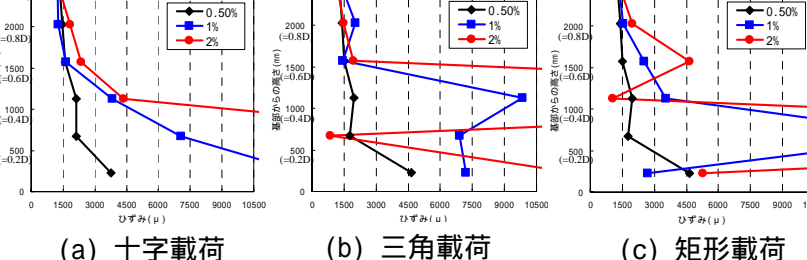


図 - 7 ひずみ分布 0.6D(1000~1500mm)の範囲が塑性ヒンジ区間にあると考えられる.本試設計橋脚の場合,道示において塑性 ヒンジ長は 0.5D(1250mm)となっており,同程度の結果となった.

#### 5.まとめ

得られた結果を以下に示す.

- 1) 終局変位は二方向載荷により低下する可能性がある
- 2) 塑性ヒンジ長は 0.4~0.6D の範囲にあり,道示に従って設計した今回の試設計橋脚の塑性ヒンジ長 0.5D とほぼ一致する

**参考文献:**1) 星隈順一,川島一彦,長屋和宏:鉄筋コンクリート橋脚の地震時保有水平耐力の照査に用いる コンクリートの応力 ひずみ関係, 土木学会論文集, No. 520/V-28, pp. 1-11, 1995

2) 長沼一洋:三軸圧縮下のコンクリートの応力~ひずみ関係,日本建築学会構造系論文集, No. 474, pp. 163-170, 1995